

реального взрыва вычтешь время остывания в ПД, то получим не столь большую разницу в t_{ign} для реального взрыва и воспламенения в динамических условиях с $Nu = 20$.

Сравним времена задержки воспламенения при различных видах симметрии ($\nu = 3$ и 2) для $r = 5$ мкм и $r_p(t_0) = 0,06, 0,07, 0,08$ м. Оказалось, что в сферическом течении $t_{ign} = 36, 40, 46$, а в цилиндрическом — $35, 36, 37$ мкс, т. е. сферическое расширение, характеризующееся более резким спадом параметров во фронте УВ, приводит к тому, что t_{ign} увеличивается сильнее при удалении частицы от центра взрыва. Для цилиндрического течения расположение частицы на данных расстояниях от волны влияет на t_{ign} весьма слабо. Кроме того, время воспламенения при сферическом взрыве меньше, чем при цилиндрическом.

Интересно проследить в цилиндрическом течении за влиянием местоположения частицы на t_{ign} . Так, пусть $r = 3$ мкм, $x_0 = 0,02$ м, $r_p(t_0) = (6, 7, 8, 9, 10, 12, 13, 14, 15) \cdot 10^{-2}$ м, тогда $t_{ign} = 22, 23, 4, 4, 4, 4, 4, 4, 4, 4, 5$ мкс соответственно. Здесь наблюдается та же картина, что и в сферическом случае. Частицы, расположенные достаточно далеко от центра взрыва, попадают в пробку газа и, не выходя из нее, воспламеняются. Это говорит о том, что возможно образование вторичных фронтов воспламенения. Первые обусловлены воспламенением частиц, расположенных ниже по течению от некоторого критического значения $r_p(t_0)_*$, вторые возникают при воспламенении внутренних частиц, у которых $r_p(t_0) \leq r_p(t_0)_*$.

Таким образом, в работе выявлены три типа движения мелких частиц в поле течения воздуха и продуктов детонации, возникающего в ближней зоне при взрыве ВВ. Это движение мелких частиц в виде слоев соответствующей симметрии, отстающих от УВ₁; движение частиц средних размеров, в котором имеется точка максимального приближения частиц к сильному разрыву; движение крупных частиц, опережающих, а потом движущихся вместе с УВ. Показано, что время воспламенения фазы частиц может определяться теми частицами, которые расположены на некотором характерном расстоянии от центра взрыва.

ЛИТЕРАТУРА

1. Федоров А. В., Тетенев Е. В., Вессьер Б. Воспламенение газозвеси частиц металлов при реальном взрыве I. // ФГВ.— 1991.— 27, № 5.
2. Броуд Г. Расчеты взрывов на ЭВМ // Механика.— 1976.— № 4.
3. Коробейников В. П. Задачи теории точечного взрыва.— М.: Наука, 1985.— 400 с.
4. Бейкер У., Кокс П. и др. Взрывные явления. Оценка и последствия.— Мир, 1986.— 319 с.
5. Федоров А. В., Тетенев Е. В., Вессьер Б. Динамика и воспламенение диспергированных в атмосфере частиц металлов при реальном взрыве.— Новосибирск, 1990.— (Препр./АН СССР. Сиб. отд-ние. ИТПМ; № 6—90).
6. Меньшов И. С. Нестационарные двухфазные течения: Дис. ... канд. физ.-мат. наук.— Новосибирск, 1982.— 155 с.
7. Гуревич М. А., Степанов А. М. Воспламенение металлических частиц // ФГВ.— 1968.— 4, № 3.— С. 334—342.
8. Медведев А. Е., Федоров А. В., Фомин В. М. Воспламенение частиц металла в высокотемпературном потоке за ударной волной.— Новосибирск, 1981.— 27 с.— (Препр./АН СССР. Сиб. отд-ние. ИТПМ; № 33—81).

г. Новосибирск

Поступила в редакцию 20/XI 1990

УДК 536.46

А. Г. Князева

ЗАЖИГАНИЕ КОНДЕНСИРОВАННОГО ВЕЩЕСТВА ТЕПЛОВЫМ ПОТОКОМ С УЧЕТОМ ТЕРМИЧЕСКИХ НАПРЯЖЕНИЙ

Впервые рассмотрена задача о зажигании конденсированного вещества в постановке линейной теории термоупругости с учетом связности полей деформации и температуры. Решение проведено с использованием методов срачиваемых асимптотических разложений и пограничных функций. Показано, что время зажигания

существенно возрастает по сравнению с результатом чисто тепловой теории, напряжения вследствие больших градиентов температур в химически реагирующей системе могут достигать величин, близких к пределам прочности многих веществ.

Воздействие на поверхность конденсированного вещества теплового импульса вызывает термические напряжения. В такой ситуации часть тепла, подводимого к конденсированному веществу извне, а также тепло, выделяющееся в химической реакции, тратится на работу сил деформации. В задачах зажигания, т. е. при наличии больших градиентов температуры и узкой области интенсивного химического тепловыделения, это (взаимодействие полей деформации и температуры) может привести к достаточно сильным эффектам: затягиванию периода индукции зажигания или смене его механизма, если напряжения превысят предельно допустимые.

Пренебрегая зависимостью теплофизических характеристик, упругих постоянных и формально-кинетических параметров от температуры, рассмотрим задачу в рамках линейной теории термоупругости [1, 2]. Так как нас интересует только начальная стадия инициирования химического превращения, то выгорание вещества, как это принято в тепловой теории зажигания [3], не учитываем. Математически простейшая задача описывается системой уравнений

$$c_\sigma \rho \frac{\partial T}{\partial t} = \lambda_T \frac{\partial^2 T}{\partial x^2} + Q k_0 \rho \exp\left(-\frac{E}{RT}\right) \rho \frac{c_\sigma - c_\varepsilon}{3\alpha_T} \frac{\partial \varepsilon_{xx}}{\partial t}, \quad (1)$$

$$a^2 \frac{\partial^2 \sigma_x}{\partial x^2} - \frac{\partial^2 \sigma_x}{\partial t^2} = s \frac{\partial^2 T}{\partial t^2},$$

$$a = \sqrt{\frac{\lambda + 2\mu}{\rho}}, \quad s = \alpha_T (3\lambda + 2\mu),$$

$$T(x, t) = T_n, \quad \sigma_x = \partial \sigma_x / \partial t = 0, \quad t = 0,$$

$$\sigma_x = 0, \quad -\lambda_T \frac{\partial T}{\partial x} = q_s, \quad x = 0,$$

$$\sigma_x = 0, \quad \frac{\partial T}{\partial x} = 0, \quad x \rightarrow \infty,$$

где T — температура; x — пространственная координата; t — время; ρ — плотность; α_T — коэффициент линейного теплового расширения; a — скорость распространения поперечных упругих волн (скорость звука); T_n — начальная температура; λ_T — коэффициент теплопроводности; q_s — тепловой поток; E , k_0 , Q — формально-кинетические характеристики экзотермической химической реакции; напряжения σ_x и деформации связаны обобщенным законом Гука: c_σ — теплоемкость при постоянной деформации и c_ε — теплоемкость при постоянном напряжении, связанные соотношением $c_\sigma - c_\varepsilon = 3(3\lambda + 2\mu)\alpha_T^2 T$ или в приближении линейной теории термоупругости

$$c_\sigma - c_\varepsilon = 3(3\lambda + 2\mu)\alpha_T^2 T_n,$$

причем c_σ эквивалентна теплоемкости при постоянном давлении, а c_ε — теплоемкости при постоянном объеме. Исследование зажигания в такой постановке до сих пор не проводилось.

Пренебрегая разностью $c_\sigma - c_\varepsilon$, простые оценки времени зажигания можем сделать на основе известных результатов [3], что справедливо, если напряжения в веществе не превысят предельно допустимые $\sigma_{пр}$. До возбуждения химического превращения в веществе напряжения найдем из решения инертной задачи, которое легко может быть получено операционным методом. Анализ несвязной инертной задачи, проведен-

ный в [4], показывает, что растягивающие и сжимающие напряжения возникают за времена, меньшие характерного времени прогрева, и затем быстро затухают. Максимально возможные напряжения определяются параметром s , перепадом температур или мощностью внешнего потока тепла и вполне могут соответствовать пределам прочности многих веществ.

В общем случае пренебрежение членом связности в уравнении теплопроводности (1) неправомерно. Решение задачи в этом случае удобнее проводить в перемещениях, а напряжения определять через деформации и температуру, используя обобщенный закон Гука. Система уравнений принимает вид

$$c_e \rho \frac{\partial T}{\partial t} = \lambda_T \frac{\partial^2 T}{\partial x^2} + \rho Q k_0 \exp\left(-\frac{E}{RT}\right) - (3\lambda + 2\mu) \alpha_T T_n \frac{\partial^2 u}{\partial x \partial t}, \quad (2)$$

$$(\lambda + 2\mu) \frac{\partial^2 u}{\partial x^2} - (3\lambda + 2\mu) \alpha_T \frac{\partial T}{\partial x} = \rho \frac{\partial^2 u}{\partial t^2}, \quad (3)$$

$$\epsilon_{xx} = \frac{\partial u}{\partial x}, \quad (4)$$

$$\sigma_x = (\lambda + 2\mu) \epsilon_{xx} - (3\lambda + 2\mu) \alpha_T (T - T_n), \quad (5)$$

$$\sigma_y = \sigma_z = \lambda \epsilon_{xx} - (3\lambda + 2\mu) \alpha_T (T - T_n), \quad (6)$$

$$\sigma_{xy} = \sigma_{yz} = \sigma_{zx} = \epsilon_{xy} = \epsilon_{yz} = \epsilon_{zx} = 0, \quad (7)$$

$$x = 0: -\lambda_T \frac{\partial T}{\partial x} = q_s, (\lambda + 2\mu) \frac{\partial u}{\partial x} = \alpha_T (3\lambda + 2\mu) (T - T_n), \quad (8)$$

$$x \rightarrow \infty: u = 0, \partial T / \partial x = 0, \quad (9)$$

$$t = 0: T = T_n, u = 0, \partial u / \partial t = 0. \quad (10)$$

В отсутствие сил инерции ($\rho \partial^2 u / \partial t^2 = 0$) решение задачи наиболее просто. Это приближение соответствует условию $v_x = (v_T/a)^2 = 0$, где v_T — скорость распространения тепловых волн. Используя адиабатический метод [3] для определения времени зажигания t_s , найдем

$$t_s = \frac{T_* - T_n}{2EQk_0} c_e \exp\left(\frac{E}{RT_*}\right), \quad (11)$$

$$T_* - T_n = \frac{2}{\pi} \frac{q_s^2}{\lambda \alpha} \frac{\exp(E/RT_*)}{\rho \lambda_T Q k_0},$$

T_* — температура зажигания;

$$\alpha = 1 + \frac{T_n}{c_e \rho} \alpha_T \frac{(3\lambda + 2\mu)^2}{\lambda + 2\mu};$$

$(\alpha - 1)$ — коэффициент связности [5]. В отличие от тепловой теории зажигания [3], тепловой поток, идущий на нагрев вещества, сокращается в $\sqrt{\alpha}$ раз, время зажигания зависит не от c_σ (или c_p), а от c_e . Оценки показывают, что для различных веществ параметр $\alpha = 1 \div 2$; $\alpha = 1$ соответствует несвязной задаче термоупругости.

Заметим, что в большинстве случаев $v_x \ll 1$. Малый параметр, появляющийся при старшей производной в обезразмеренной по характерным масштабам задаче, может существенно повлиять на результат. Для более подробного анализа (2) — (10) используем методы сращиваемых асимптотических разложений и пограничных функций. Аналогично [6], где изложен алгоритм решения задачи о зажигании тепловым потоком без учета термонапряжений, рассмотрим три варианта построения асимптотик.

До температуры T_0 , при которой возбуждаются химические реакции, вещество нагревается как инертное тело. Обезразмеривая систему (2) — (10) по характерным масштабам этого периода, получим

$$\frac{\partial \Theta}{\partial \tau} = \frac{\partial^2 \Theta}{\partial \xi^2} - w \exp \left[-\Theta_0 \frac{\Theta}{1 - \sigma \Theta} \right] + \frac{1 - \sigma}{\sigma} \frac{\partial^2 u}{\partial \xi \partial \tau},$$

$$\frac{\partial^2 u}{\partial \xi^2} + \delta \frac{\partial \Theta}{\partial \xi} - v_x \frac{\partial^2 u}{\partial \tau^2}, \quad (12)$$

$$\varepsilon_{xx} = \frac{\partial u}{\partial \xi}, \quad (13)$$

$$s_x = \frac{\varepsilon_{xx}}{\delta} + \Theta - 1, \quad (14)$$

$$\frac{\partial \Theta}{\partial \xi} = 1, \quad \frac{\partial u}{\partial \xi} = \delta(1 - \Theta), \quad \xi = 0, \quad (15)$$

$$\frac{\partial \Theta}{\partial \xi} = 0, \quad u = 0, \quad \xi \rightarrow \infty, \quad (16)$$

$$\Theta(\xi, 0) = 1, \quad u(\xi, 0) = \partial u / \partial \tau = 0, \quad \tau = 0, \quad (17)$$

где $\Theta = \frac{T_0 - T}{T_0 - T_H}$; $\xi = x/x_H$; $\tau = t/t_H$; $\sigma = \frac{T_0 - T_H}{T_0}$; $\Theta_H = E(T_0 - T_H)/(RT_0^2)$;

$w = \lambda_T(T_0 - T_H)Qk_0\rho \exp(-E/RT_0)/q_s^2$; $v_x = (v_T/a)^2$; $\delta = \frac{3\lambda + 2\mu}{\lambda + 2\mu} \cdot \frac{\alpha_T(T_0 - T_H)}{u_H} x_H$;

$x_H = \lambda_T(T_0 - T_H)/q_s^2$; $t_H = c_e \rho x_H^2 / \lambda_T$; $s_x = \sigma_x / \sigma_H$; $\sigma_H = \alpha_T(3\lambda + 2\mu)(T_0 - T_H)$; для перемещений и деформаций, обезразмеренных по характерным масштабам ($u_H = c_e \rho x_H / (3\lambda + 2\mu) / \alpha_T$ и $\varepsilon_H = c_e \rho / (3\lambda + 2\mu) / \alpha_T$), оставлены прежние обозначения u и ε соответственно; a — скорость звука. Записывая решение инертной несвязной задачи [4] в переменных прогрева, можем придать иной смысл параметру v_x : $\forall v_x = \sigma_{\max} / \sigma_H$. Здесь $\sigma_{\max} = q_s \alpha_T (3\lambda + 2\mu) / (c_e \rho a)$ — максимальные напряжения в инертном теле при его нагреве потоком постоянной интенсивности; $\sigma_H = (3\lambda + 2\mu) \alpha_T (T_0 - T_H)$ — максимальные напряжения в инертном теле при мгновенном повышении температуры на границе $x = 0$ до T_0 . Возможны два пути решения.

1. Условие $\Theta_0 \gg 1$, что наиболее интересно в задачах зажигания, позволяет пренебречь в уравнении теплопроводности экспоненциально малыми величинами. Тогда на стадии инертного прогрева система сводится к линейной связной задаче термоупругости. Решать инертную задачу удобно методом пограничных функций [7], так как точное решение крайне громоздко и неудобно в использовании. Последовательности дальнейших рассуждений аналогична [6]. Дополнительные сложности возникают лишь при определении поля перемещений.

2. Учитывая малость параметра v_x , можем сразу представить решение (12), (15) — (17) в виде суммы [7]

$$\Theta = \bar{\Theta}(\tau, v_x, \xi) + \Pi\Theta(\tau_v, v_x, \xi), \quad (18)$$

$$u = \bar{u}(\tau, v_x, \xi) + \Pi u(\tau_v, v_x, \xi),$$

где $\tau_v = \tau/v_x$;

$$\bar{\Theta}(\tau, v_x, \xi) = \bar{\Theta}_0(\tau, \xi) + v_x \bar{\Theta}_1(\tau, \xi) + v_x^2 \bar{\Theta}_2(\tau, \xi) + \dots;$$

$$\bar{u}(\tau, v_x, \xi) = \bar{u}_0(\tau, \xi) + v_x \bar{u}_1(\tau, \xi) + v_x^2 \bar{u}_2(\tau, \xi) + \dots;$$

$$\Pi\Theta(\tau_v, v_x, \xi) = \Pi_0\Theta(\tau_v, \xi) + v_x \Pi_1\Theta(\tau_v, \xi) + v_x^2 \Pi_2\Theta(\tau_v, \xi) + \dots;$$

$$\Pi u(\tau_v, v_x, \xi) = \Pi_0 u(\tau_v, \xi) + v_x \Pi_1 u(\tau_v, \xi) + v_x^2 \Pi_2 u(\tau_v, \xi) + \dots$$

Это позволит выделить особенность, вносимую в задачу сингулярным возмущением. Предпочтем, как более простой, первый путь решения.

На стадии инертного прогрева, полагая $v_x = 0$, получим вырожденную задачу

$$\frac{\partial \tilde{\Theta}}{\partial \tau} = \frac{\partial^2 \tilde{\Theta}}{\partial \xi^2} + \frac{1 - \sigma}{\sigma}, \quad \frac{\partial^2 \tilde{u}}{\partial \xi \partial \tau}, \quad \frac{\partial^2 \tilde{u}}{\partial \xi^2} + \delta \frac{\partial \tilde{\Theta}}{\partial \xi} = 0,$$

$$\xi = 0: \frac{\partial \tilde{\Theta}}{\partial \xi} = 1, \quad \frac{\partial \tilde{u}}{\partial \xi} = \delta(1 - \tilde{\Theta}),$$

$$\xi \rightarrow \infty: \tilde{u} = 0, \quad \frac{\partial \tilde{\Theta}}{\partial \xi} = 0,$$

$$\tau = 0: \tilde{\Theta} = 1, \quad \tilde{u} = 0,$$

в которой отброшено второе начальное условие для перемещений и решать которую легко, например, операционным методом:

$$\tilde{\Theta} = 1 - 2 \sqrt{\frac{\tau}{\pi \alpha}} \exp\left(-\frac{\alpha \xi^2}{4\tau}\right) + \xi \operatorname{erfc}\left(\frac{\xi \sqrt{\alpha}}{2\sqrt{\tau}}\right), \quad (19)$$

$$\tilde{u} = -\frac{\delta}{\alpha} \left[\left(\tau + \frac{\alpha \xi^2}{2}\right) \operatorname{erfc}\left(\frac{\xi \sqrt{\alpha}}{2\sqrt{\tau}}\right) - \xi \sqrt{\alpha} \sqrt{\frac{\tau}{\pi}} \exp\left(-\frac{\alpha \xi^2}{4\tau}\right) \right], \quad (20)$$

где $\alpha = 1 + \frac{1-\sigma}{\sigma}\delta$. Выражение (19) совпадает с решением обычной задачи теплопроводности о нагреве потоком, если $\alpha = 1$, и использовано в оценках (14). Дальнейшее решение ищем в виде (18). Подставляя разложение в (12), приравнявая коэффициенты при одинаковых степенях v_x , причем отдельно для величин, зависящих от τ и τ_v , получим для нулевого приближения

$$\begin{aligned} \frac{\partial^2 \Pi_0 u}{\partial \tau_v^2} &= 0, \quad \frac{\partial \Pi_0 \Theta}{\partial \tau_v} = \frac{1-\sigma}{\sigma} \frac{\partial^2 \Pi_0 u}{\partial \xi^2 \partial \tau_v}, \\ \frac{\partial \bar{\Theta}_0}{\partial \tau} &= \frac{\partial^2 \bar{\Theta}_0}{\partial \xi^2} + \frac{1-\sigma}{\sigma} \frac{\partial^2 \bar{u}_0}{\partial \xi^2 \partial \tau}, \quad \frac{\partial^2 \bar{u}_0}{\partial \xi^2} + \delta \frac{\partial \bar{\Theta}_0}{\partial \xi} = 0, \end{aligned}$$

а для последующих —

$$\begin{aligned} \frac{\partial \Pi_k \Theta}{\partial \tau_v} &= \frac{\partial^2 \Pi_{k-1} \Theta}{\partial \xi^2} + \frac{1-\sigma}{\sigma} \frac{\partial^2 \Pi_k u}{\partial \xi^2 \partial \tau_v}, \\ \frac{\partial^2 \Pi_{k-1} u}{\partial \xi^2} + \delta \frac{\partial \Pi_{k-1} \Theta}{\partial \xi} &= \frac{\partial^2 \Pi_k u}{\partial \tau_v^2}, \\ \frac{\partial \bar{\Theta}_k}{\partial \tau} &= \frac{\partial^2 \bar{\Theta}_k}{\partial \xi^2} + \frac{1-\sigma}{\sigma} \frac{\partial^2 \bar{u}_k}{\partial \xi^2 \partial \tau}, \\ \frac{\partial^2 \bar{u}_k}{\partial \xi^2} + \delta \frac{\partial \bar{\Theta}_k}{\partial \xi} &= \frac{\partial^2 \bar{u}_{k-1}}{\partial \tau^2}. \end{aligned} \quad (21)$$

Аналогичную процедуру проделываем для граничных и начальных условий. Для нулевого приближения $\bar{u}_0, \bar{\Theta}_0$ условия выбираем так (в силу допустимого произвола их выбора [7]), чтобы $\bar{u}_0, \bar{\Theta}_0$ совпали с решением вырожденной задачи (19), (20). Тогда для Π -функций в нулевом приближении имеем

$$\begin{aligned} \frac{\partial \Pi_0 \Theta}{\partial \xi} &= 0, \quad \frac{\partial \Pi_0 u}{\partial \xi} = -\delta \Pi_0 \Theta, \quad \xi = 0, \\ \frac{\partial \Pi_0 \Theta}{\partial \xi} &= 0, \quad \Pi_0 u = 0, \quad \xi \rightarrow \infty, \end{aligned}$$

$$\Pi_0 u = 0, \quad \partial \Pi_0 u / \partial \tau_v = 0, \quad \Pi_0 \Theta = 0, \quad \tau = 0,$$

что дает $\Pi_0 u = 0, \Pi_0 \Theta = 0$. Первое приближение находим, используя (21) и соответствующие условия при $k = 1$:

$$\bar{\Theta}_1 = \frac{\beta}{\alpha} \left[\frac{1}{\sqrt{\pi \tau \alpha}} + \frac{\xi^2 \sqrt{\alpha}}{2\sqrt{\pi \tau^3}} \right] \exp\left(-\frac{\alpha \xi^2}{4\tau}\right) - \frac{2\beta}{\alpha} \frac{1}{\sqrt{\pi \tau \alpha}},$$

$$\bar{u}_1 = \left[-\frac{2\delta\beta}{\alpha^2} \sqrt{\frac{\tau}{\pi}} + \frac{\delta}{\alpha^2} \beta^2 \frac{1}{\sqrt{\pi\tau}} \right] \exp\left(-\frac{\alpha\xi^2}{4\tau}\right) - \frac{\delta}{\alpha^2} (1 - \beta\xi\sqrt{\alpha}) \operatorname{erfc} \frac{\xi\sqrt{\alpha}}{2\sqrt{\tau}} +$$

$$+ \left\{ \frac{\delta}{\alpha^2} + \frac{\beta^2\delta}{\alpha\sqrt{\alpha}} \xi - \frac{\delta\beta}{\alpha^2\sqrt{\alpha}} + \frac{\delta}{\alpha^2} \beta^3 \right\} \exp(\beta^2\tau - \beta\xi\sqrt{\alpha}) \operatorname{erfc} \left(\frac{\xi\sqrt{\alpha}}{2\sqrt{\tau}} - \beta\sqrt{\tau} \right),$$

$$\Pi_1\Theta \equiv 0, \quad \Pi_1u \equiv 0, \quad \beta = \frac{\delta}{2\alpha} \frac{1-\sigma}{\sigma}.$$

Таким образом, с точностью до $O(v_x^2)$ решение задачи, соответствующее стадии инертного прогрева, определено:

$$\Theta_1 \sim \bar{\Theta}_0 + v_x\bar{\Theta}_1 + \dots, \quad u_1 \approx \bar{u}_0 + v_x\bar{u}_1 + \dots \quad (22)$$

Подставляя (22) в (13), (14), найдем деформации и напряжения

$$\varepsilon_{xx_1} \approx \left\{ 2 \frac{\delta}{\sqrt{\alpha}} \sqrt{\frac{\tau}{\pi}} + \frac{v_x}{\sqrt{\pi\tau}} \left[\frac{\delta\beta}{\alpha\sqrt{\alpha}} - \frac{\delta\beta^2}{\alpha} \xi \right] \right\} \exp\left(-\frac{\alpha\xi^2}{4\tau}\right) - \delta\xi \operatorname{erfc} \frac{\xi\sqrt{\alpha}}{2\sqrt{\tau}} -$$

$$- v_x \frac{\delta\beta^2}{\alpha} \xi \exp(-\xi\sqrt{\alpha}\beta + \beta^2\tau) \operatorname{erfc} \left(-\beta\sqrt{\tau} + \frac{\xi\sqrt{\alpha}}{2\sqrt{\tau}} \right),$$

$$s_{x_1} \approx v_x \left\{ \frac{1}{\sqrt{\pi\tau}} \left[\frac{2\beta}{\alpha\sqrt{\alpha}} - \frac{\beta^2}{\alpha} \xi \right] + \frac{\beta\xi^2}{2\sqrt{\pi\alpha\tau^3}} \right\} \exp\left(-\frac{\alpha\xi^2}{4\tau}\right) -$$

$$- \frac{\beta^2}{\alpha} \xi v_x \exp(-\xi\sqrt{\alpha}\beta + \beta^2\tau) \operatorname{erfc} \left(-\beta\sqrt{\tau} + \frac{\xi\sqrt{\alpha}}{2\sqrt{\tau}} \right) - \frac{2\beta v_x}{\alpha\sqrt{\alpha\pi\tau}}.$$

В переменных, характерных для зоны химических реакций $x < x_p$:

$$\frac{q_s}{Qk_0\theta} \exp\left(-\frac{E}{RT_0}\right) \quad (x_n/x_p = w \gg 1), \quad (23)$$

$$\Phi = \Theta_0(\Theta - \Theta_1), \quad \xi_1 = w\xi, \quad \tau_1 = \eta(\Theta_0)(\tau - \tau_0),$$

где τ_0 — время достижения на поверхности температуры T_0 ; $\eta(\Theta_0) \gg 1$, если $T \rightarrow T_0$, справедливо

$$\Theta_0, \quad \Theta_1(\xi_1, \tau_1) = \Theta_0 \left(1 - 2 \sqrt{\frac{\tau_0}{\pi\alpha}} - \frac{\tau_1}{\sqrt{\pi\tau_0\alpha}} \frac{\Theta_0}{\eta(\Theta_0)} + \xi_1 \frac{\Theta_0}{w} - \frac{v_x\Theta_0}{\sqrt{\pi\tau_0\alpha}} \beta + \right.$$

$$\left. + O\left(\frac{\Theta_0}{\eta^2(\Theta_0)}, \frac{\Theta_0}{w^2}, \frac{v_x}{\eta(\Theta_0)}\right) \right) \approx 0 \quad (1). \quad (24)$$

Следовательно,

$$\Theta/\eta(\Theta_0) = 1, \quad \Theta_0/w = A \sim O(1),$$

$$\Theta_0 \left(1 - 2 \sqrt{\frac{\tau_0}{\pi\alpha}} - \frac{v_x}{\sqrt{\pi\tau_0\alpha}} \frac{\delta}{2\alpha^2} \frac{1-\sigma}{\sigma} \right) = B \sim O(1), \quad (25)$$

$$\Theta_0, \quad \Theta_1 \approx B \sim \tau_1/\sqrt{\pi\tau_0\alpha} + A\xi_1, \quad (26)$$

что аналогично [6]. С учетом (25) перемещения и деформации, и напряжения в зоне химических реакций в области прогрева в переменных ξ_1, τ_1 запишутся в виде

$$u_1 = \frac{\delta}{\alpha} \tau_0 - \frac{\delta}{\alpha} \frac{\tau_1}{\Theta_0} + \frac{2\xi_1\delta}{w\sqrt{\pi\alpha}} \sqrt{\frac{\tau_0}{\pi}} + v_x \left\{ -\frac{2\delta\beta}{\alpha^2} \sqrt{\frac{\tau_0}{\pi}} - \frac{\delta}{\alpha^2} + \frac{\delta\beta^2}{\alpha^2\sqrt{\pi\tau_0}} - \right.$$

$$\left. - \frac{1}{\beta\sqrt{\pi\tau_0}} \left(\frac{\delta}{\alpha^2} - \frac{\delta\beta}{\alpha^2\sqrt{\alpha}} + \frac{\delta\beta^3}{\alpha^2} \right) \right\} + O(v_x^2, v_x/\Theta_0, \Theta_0^{-2}),$$

$$\varepsilon_{xx_1} = \frac{\delta\beta}{\Theta_0} + \frac{\xi_1\delta}{\Theta_0} - \frac{\delta\tau_1}{\Theta_0\sqrt{\pi\tau_0\alpha}} + \frac{2v_x\delta\beta}{\alpha\sqrt{\alpha\pi\tau_0}} + O(v_x^2, \Theta_0^{-1}, v_x \dots), \quad s_{x_1} = O(v_x\Theta_0^{-1}).$$

Вводя новую переменную для перемещений в зоне химических реакций $z = D(\Theta_0)(u - u_1)$ и учитывая (23), (24), (26), получим

$$\frac{A}{w} \frac{\partial \Phi}{\partial \tau_1} = \frac{\partial^2 \Phi}{\partial \xi_1^2} - A \exp \left[-\Phi - B + \frac{\tau_1}{\sqrt{\pi \tau_0 \alpha}} - A \xi_1 \right] + \frac{1 - \sigma}{\sigma} \frac{\partial^2 z}{\partial \xi_1 \partial \tau_1} \frac{\Theta_0^2}{w D(\Theta_0)}, \quad (27)$$

$$\frac{w^2}{D^2} \frac{\partial^2 z}{\partial \xi_1^2} + \frac{\delta}{A} \frac{\partial \Phi}{\partial \xi_1} = v_x \frac{\Theta_0^2}{D(\Theta_0)} \frac{\partial^2 z}{\partial \tau_1^2}.$$

Чтобы удовлетворить условию квазистационарности зоны химических реакций, необходимо положить $D(\Theta_0) = \Theta_0^2$. Следовательно, при выполнении (25) с точностью до бесконечно малых величин для температуры Φ , аналогично [6], получим

$$\Phi = \ln A - B + \frac{\tau_1}{\sqrt{\pi \tau_0 \alpha}} - A \xi_1 + 2 \ln \left[\frac{\operatorname{ch} \left(b \pm \sqrt{\frac{a}{2}} \xi_1 \right)}{\sqrt{a}} \right], \quad (28)$$

$$b = \ln \sqrt{2A} + \frac{B}{2} - \frac{\tau_1}{2\sqrt{\pi \tau_0 \alpha}},$$

$$a = \frac{A^2}{2} \left[\frac{2A + \exp \left[-B + \tau_1 / \sqrt{\pi \tau_0 \alpha} \right]}{2A - \exp \left[-B + \tau_1 / \sqrt{\pi \tau_0 \alpha} \right]} \right]^2. \quad (29)$$

Второе уравнение системы (27) служит для вычисления перемещений в зоне химических реакций, для чего должны быть привлечены четыре дополнительных условия. Первое найдем из граничных условий задачи, начальные условия — из сращивания решения со стадией инертного прогрева, тогда система уравнений примет вид

$$\frac{\partial^2 z}{\partial \xi_1^2} + \delta A \frac{\partial \Phi}{\partial \xi_1} = v_x A^2 \frac{\partial^2 z}{\partial \tau_1^2},$$

$$\xi = 0: \frac{\partial z}{\partial \xi_1} = -\frac{\delta \Theta_0}{A} \Phi(0, \tau_1) = -2\delta A \ln \left[1 - \exp \left\{ -B - \ln 2A + \frac{\tau_1}{\sqrt{\pi \tau_0 \alpha}} \right\} \right] = f_1(\tau_1),$$

$$\tau = 0: z(\xi_1, \tau_1 \rightarrow -\Theta_0 \tau_0) = -\Theta_0^2 u_1(\xi_1, \tau_1 \rightarrow 0) = -\Theta_0^2 \left\{ -\frac{\delta}{\alpha} \tau_0 + \right. \quad (30)$$

$$\left. + v_x \left[-\frac{2\delta\beta}{\alpha^2} \sqrt{\frac{\tau_0}{\pi}} - \frac{\delta}{\alpha^2} + \frac{\delta}{\alpha^2} \frac{\beta^2}{\sqrt{\pi \tau_0}} - \frac{1}{\beta \sqrt{\pi \tau_0}} \left(\frac{\delta}{\alpha^2} - \frac{\delta\beta}{\alpha^2 \sqrt{\alpha}} + \frac{\delta\beta^2}{c^2} \right) \right] \right\} = -\beta_0 \Theta_0^2,$$

$$\partial z(\xi_1, \tau_1 \rightarrow -\Theta_0 \tau_0) / \partial \tau_1 = \Theta_0 \partial u(\xi_1, \tau_1 \rightarrow 0) / \partial \tau = -\delta / \alpha.$$

Второе условие по пространственной координате найдем позже из сращивания решения (30) с решением для перемещений вне зоны химических реакций, т. е. $\xi_1 \gg 1$.

В принципе, для более корректного решения задачи $u_1(\xi_1, \tau_1 \rightarrow 0)$ нужно записать так, чтобы выполнялось соотношение $\Theta_0^2 u_1(\xi_1, \tau_1 \rightarrow 0) \approx \approx 0(1)$. Ограничимся приближением (30), где учтено $\xi_1 \ll 1$ в начальном условии. Это позволит избежать громоздких выкладок.

В области $\xi_1 \gg 1$ перейдем к новым переменным $\bar{z} = z$, $\varphi = \Phi \Theta_0$, $(\sqrt{\Theta_0} / w) \xi_1 = \bar{\xi}_1$, тогда из (27) получим

$$\frac{\partial \varphi}{\partial \tau_1} = \frac{\partial^2 \varphi}{\partial \bar{\xi}_1^2} - \frac{w}{\Theta_0} \exp[-\Theta_0 \Theta] + \frac{1 - \sigma}{\sigma} \frac{\partial^2 \bar{z}}{\partial \bar{\xi}_1 \partial \tau_1} \frac{1}{\Theta_0 \sqrt{\Theta_0}},$$

$$\frac{1}{\Theta_0} \frac{\partial^2 \bar{z}}{\partial \bar{\xi}_1^2} + \delta \sqrt{\Theta_0} \frac{\partial \varphi}{\partial \bar{\xi}_1} = v_x \frac{\partial^2 \bar{z}}{\partial \tau_1^2}. \quad (31)$$

Для температуры находим [6]

$$\varphi(\tau_1, \bar{\xi}_1) = - \int_{\Theta_0 \tau_0}^{\tau_1} j_2(y - \Theta_0 \tau_0) \frac{\exp(-\bar{\xi}_1^2/4(\tau_1 - y))}{\sqrt{\pi(\tau_1 - y)}} dy \eta(\tau_1 - \tau_0 \Theta_0), \quad (32)$$

$$f_2(\tau_1) = \frac{\partial \varphi(0, \tau_1)}{\partial \bar{\xi}_1} = \frac{1}{\sqrt{\Theta_0}} \frac{2}{2A \exp(B - \tau_1/\sqrt{\pi \tau_0 \alpha}) - 1} = \frac{w}{\Theta_0^{3/2}} \frac{\partial \Phi(\infty, \tau_1)}{\partial \bar{\xi}_1}.$$

Перемещения при $\bar{\xi}_1 \gg 1$ найдем, зная поле температур (32). Начальные условия определяем из сращения со стадией инертного прогресса при $\bar{\xi}_1 \gg 1$:

$$\bar{z}(\bar{\xi}_1, -\tau_0 \Theta_0) = 0, \quad \frac{\partial \bar{z}}{\partial \tau_1}(\bar{\xi}_1, -\tau_0 \Theta_0) = 0, \quad (33)$$

условие при $\bar{\xi}_1 \rightarrow \infty$ — из граничного условия задачи

$$\bar{z}(\infty, \tau_1) = 0. \quad (34)$$

Оставшиеся константы интегрирования при решении (30), (31), (33), (34) сможем найти из условий

$$z(\infty, \tau_1) = \bar{z}(0, \tau_1), \quad \frac{\partial z(\infty, \tau_1)}{\partial \bar{\xi}_1} = \frac{\partial \bar{z}(0, \tau_1)}{\partial \bar{\xi}_1} \frac{\sqrt{\Theta_0^-}}{w}. \quad (35)$$

Точное решение задачи (30) не представляется возможным. Приближенное решение можно найти, например, методом [7]. Для удобства анализа предпочтительнее более простой путь. Так как для области химических реакций характерно $\bar{\xi}_1 \ll 1$, представим $(\partial \Phi / \partial \bar{\xi}_1)$ в виде разложения в ряд Тейлора в окрестности $\bar{\xi}_1 = 0$

$$\frac{\partial \Phi}{\partial \bar{\xi}_1} \approx v_1(\tau_1) + v_2(\tau_1) \bar{\xi}_1 + \dots \approx v_1(\tau_1) + v_2(\tau_1) (1 - e^{-\bar{\xi}_1}),$$

$$v_1(\tau_1) = -A + \sqrt{2a} \operatorname{th}(b); \quad v_2(\tau_1) = a(1 - \operatorname{th}^2 b).$$

Применяя к задачам (30) и (31), (33) — (35) операционный метод, найдем перемещения в зоне химических реакций

$$\begin{aligned} z \approx & -\Theta_0^2 \beta_0 - \frac{\delta}{\alpha} \tau_1 + \frac{\delta}{v_x A} \eta(\tau_1 - \tau_0 \Theta_0) \int_{\tau_0 \Theta_0}^{\tau_1} (\tau_1 - y) [v_1(y - \tau_0 \Theta_0) + \\ & + v_2(y - \tau_0 \Theta_0)] dy - \frac{\delta}{\sqrt{v_x}} \exp(-\bar{\xi}_1) \eta(\tau_1 - \Theta_0 \tau_0) \int_{\tau_0 \Theta_0}^{\tau_1} v_2(y - \tau_0 \Theta_0) \times \\ & \times \operatorname{sh} \frac{\tau_1 - y}{A \sqrt{v_x}} dy + \eta(\tau_1 - \gamma_1) \int_{\gamma_1}^{\tau_1} \left\{ \frac{1}{A \sqrt{v_x}} \eta(\tau_1 - y) f_1(y - \gamma_1) - \right. \\ & \left. - \frac{\delta}{\sqrt{v_x}} v_2(y - \gamma_2) \left[\operatorname{ch} \frac{\tau_1 - y}{A \sqrt{v_x}} - \eta(\tau_1 - \bar{y}) \right] \right\} dy \quad (36) \end{aligned}$$

и вдали от зоны химических реакций

$$\begin{aligned} z \approx & \eta(\tau_1 - \gamma_2) \left\{ -\Theta_0^2 \beta_0 - \frac{\delta}{\alpha} \tau_1 + \frac{\delta}{v_x A} \int_{\gamma_2}^{\tau_1} (\tau_1 - y) [v_1(y - \gamma_2) + v_2(y - \gamma_2)] dy - \right. \\ & \left. - \frac{\delta}{\sqrt{v_x}} \int_{\gamma_2}^{\tau_1} v_2(y - \gamma_2) \operatorname{sh} \frac{\tau_1 - y}{A \sqrt{v_x}} dy + \frac{\delta}{\sqrt{\Theta_0}} \int_{\gamma_2}^{\tau_1} f_2(y - \gamma_2) \left[\eta(\tau_1 - y) - \right. \right. \end{aligned}$$

$$- \exp\left(\frac{\tau_1 - y}{v_x \Theta_0}\right) dy + \frac{\delta}{v_x \Theta_0 \sqrt{\Theta_0}} \int_{\gamma_2}^{\tau_1} f_2(y - \gamma_2) \int_{\gamma_2}^{\tau_1 - y} \exp\left(\frac{\tau_1 - y - s}{v_x \Theta_0}\right) \times \\ \times \operatorname{erfc}\left(\frac{\xi_1}{2\sqrt{s}}\right) ds dy \}, \quad (37)$$

$$\gamma_1 = \tau_0 \Theta_0 + A \xi_1 \sqrt{v_x}, \quad \gamma_2 = \tau_0 \Theta_0 + \xi_1 \sqrt{v_x \Theta_0}.$$

Таким образом, поле температур и перемещений в квазистационарном режиме полностью определено. Теперь, используя (14), (28), (29), (32), (36), (37), найдем деформации и напряжения. Так, в области $\xi_1 \ll 1$

$$\varepsilon_{xx} = \frac{1}{A \Theta_0} \frac{\partial z}{\partial \xi_1} + \varepsilon_{xx_1} = \frac{1}{A \Theta_0} f_1(\tau_1 - \gamma_1) \eta(\tau_1 - \gamma_1) + \frac{\delta}{A \Theta_0 \sqrt{v_x}} [F(\tau_1, \Theta_0, \tau_0) - \\ - F(\tau_1, \gamma)] + \varepsilon_{xx_1}, \quad s_x = \frac{1}{A \Theta_0 \delta} f_1(\tau_1 - \gamma_1) \eta(\tau_1 - \gamma_1) + \frac{1}{A \Theta_0 \sqrt{v_x}} [F(\tau_1, \Theta_0, \tau_0) - \\ - F(\tau_1, \gamma)] + \frac{\ln A}{\Theta_0} + \frac{2}{\Theta_0} \ln \left[\frac{\operatorname{ch}\left(b + \sqrt{\frac{a}{2}} \xi_1\right)}{\sqrt{a}} \right] - 1 + \frac{\varepsilon_{xx_1}}{\delta}, \quad (38)$$

где $F(\tau_1, p) = \eta(\tau_1 - p) \int_p^{\tau_1} v_2(y - p) \operatorname{sh} \frac{\tau_1 - y}{A \sqrt{v_x}} dy$; a, b — функции.

Время прогрева τ_0 и связь между постоянными A и B найдем по определению τ_0 (t_0 — время достижения поверхностью температуры T_0) из (24):

$$\tau_0 = \frac{\pi \alpha}{4} \left[\left(1 - \frac{B}{\Theta_0}\right) \left(1 + \frac{v_x \delta}{\pi \alpha^3 (1 - B/\Theta_0)} \frac{1 - \sigma}{\sigma}\right) \right]^2, \quad (39)$$

$$B = -2 \ln A [\sqrt{1 + 2/A} - 1].$$

Если $\alpha = 1$ и $v_x = 0$ (т. е. термические напряжения не учитываются), то (39) формально совпадает с выражением для τ_0 , полученным в [6].

Примем за момент воспламенения время неограниченного роста температуры на границе $\Phi(0, \tau_1 \rightarrow \tau_{1*}) = -\infty$, тогда, используя (28), (29), найдем

$$\tau_{1*} = \sqrt{\pi \tau_0 \alpha} \ln \frac{1}{A + 1 - A \sqrt{1 + 2/A}},$$

что отличается от результата [6] наличием множителя $\sqrt{\alpha}$. Переходя к старой переменной τ_1 , получим

$$\tau_3 = \tau_{1*}/\Theta_0 + \tau_0. \quad (40)$$

Для определения постоянной A в [6] используется условие $\Theta_0 \Theta_1(0, \tau_{1*}) = 0$, которое записано на основании результатов численного счета [8]. Это дает $A = 1/2$, $B \approx 0,962$. Заметим, что для рассматриваемой задачи это условие может и не быть справедливым и остается предположением.

При $v_x \rightarrow 0$, как следует из (36), (38), вероятно возникновение больших перемещений, деформаций и напряжений, что может привести к разрушению вещества до момента τ_3 . В этом случае использование (40) неправомерно. Время разрушения вполне естественно определять из условия достижения предельно допустимых напряжений $\sigma_{пр}$ (или $s_{пр} = \sigma_{пр}/\sigma_n$), например в точке $\xi_p = x_p/x_n = 1/w$. Тогда для времени разрушения τ_p из (38) получим сложное трансцендентное уравнение. Если, аналогично условию зажигания, принять за τ_p время резкого роста s_x , из

(38) получим асимптотическое время разрушения $\tau_p^* = B\sqrt{\pi\tau_0\alpha}/\Theta_0 + \tau_0$, которое совпадает со временем зажигания в квазистационарном режиме, что и следовало ожидать (напряжения в веществе порождены именно температурным полем). Так как к моменту τ_0 напряжения в зоне химических реакций бесконечно малы, то вполне разумно записать

$$\tau_0 < \tau_p < \tau_a.$$

Адиабатический режим предполагает, что при некоторой T_* вклад тепла от экзотермических химических реакций в общий теплобаланс системы становится определяющим. Соответствующий временной масштаб — период адиабатической индукции

$$t_{ад} = \frac{c_\sigma RT_*^2}{EQk_0} \exp\left(\frac{E}{RT_*}\right).$$

Соотношения

$$\frac{t_{xp}}{t_{ад}} = \frac{t_{п}}{\Theta_0 t_{ад}} = k l w D \gg 1,$$

$$\frac{t_{п}}{t_{ад}} = k l w D \Theta_0 \gg 1,$$

$$(D = \exp[E(T_* - T_0)/(RT_* T_0)] \gg 1, k = (T_0/T_*)^2 \sim 0(1), l = c_\sigma/c_\sigma)$$

позволяют построить, как и в [6], два типа асимптотик. В первом случае, переходя в (12) к безразмерным переменным

$$z_a = \Psi_z, \tau_a = k l w D (\tau_{1*} - \tau_1), \xi_a = \Theta_0 \xi_1, \Phi_a = \Phi + \ln D,$$

получим

$$\begin{aligned} \frac{\partial \Phi_a}{\partial \tau_a} - \frac{\Theta_0^2}{A k D l} \frac{\partial^2 \tau_a}{\partial \xi_a^2} + \frac{1}{k l} \exp\left[-\ln D - \frac{\Theta_0 \Theta(\xi_a, \tau_a)}{1 - \sigma \Theta(\xi_a, \tau_a)}\right] + \frac{1 - \sigma}{\sigma} \frac{\partial^2 z_a}{\partial \xi_a \partial \tau_a} \frac{\Theta_0}{A \Psi}, \\ \frac{\partial^2 z_a}{\partial \xi_a^2} + \frac{w \delta A}{\Theta_0} \frac{\partial \Phi_a}{\partial \xi_a} = v_x (k l D)^2 \frac{\partial^2 z_a}{\partial \tau_a^2}. \end{aligned} \quad (41)$$

Следовательно, чтобы тепловыделение от химической реакции было определяющим, положим $D = \Theta_0^3$, $\Psi = \Theta_0^3$, что дает k и T_* :

$$\sqrt{k} = 1 - 3\sigma \ln(\Theta_0)/\Theta_0.$$

Второе уравнение системы (41) при условии $v_x (k l D)^2 \gg 1$ с точностью до малых величин преобразуется к более простому виду:

$$\frac{\partial^2 z_a}{\partial \tau_a^2} = -\delta A \frac{\partial \Phi_a}{\partial \xi_a}. \quad (42)$$

В результате для температуры, аналогично [6], получим

$$\Phi_a = (2 - \sqrt{k}) \ln \left[\frac{C}{2 - \sqrt{k}} + \frac{\tau_a}{k l (2 - \sqrt{k})} \exp \left\{ -\frac{B + (\ln D)^2 \sigma / \Theta_0 - \tau_{1*} / \sqrt{\pi \tau_0 \alpha}}{2 - \sqrt{k}} \right\} \right], \quad (43)$$

$$\begin{aligned} C = (2 - \sqrt{k}) \left\{ D^{\frac{1}{2 - \sqrt{k}}} \left[1 - \exp \left(-B + \frac{\tau_{1*}}{\sqrt{\pi \tau_0 \alpha}} \right) \right]^{\frac{2}{2 - \sqrt{k}}} - \right. \\ \left. - \frac{w D \tau_{1*}}{2 - \sqrt{k}} \exp \left[-\frac{B - \tau_{1*} / \sqrt{\pi \tau_0 \alpha} + \sigma (\ln D)^2 / \Theta_0}{2 - \sqrt{k}} \right] \right\} \end{aligned} \quad (44)$$

находим из условия сращивания (43) с квазистационарной стадией. С учетом (43), (44) из (42) имеем

$$z_a = C_1 \tau_a + C_2. \quad (45)$$

Пренебрегая величиной $A\sqrt{v_x}\bar{\xi}_a/\Theta_0$ по сравнению с $\tau_0\Theta_0$ и отличим $\exp(-\bar{\xi}_a/\Theta_0)$ от единицы ($\bar{\xi}_a \ll 1$) из (36) и условия срачивания (45) с квазистационарной стадией, для определения постоянных интегрирования C_1 и C_2 получим

$$z_a(\bar{\xi}_a, \tau_a \rightarrow kwDl\tau_{1*}) = \Theta_0^2 z(\bar{\xi}_a, \tau_a = 0) = \kappa_1, \\ \frac{\partial z_a(\bar{\xi}_a, \tau_a \rightarrow kwDl\tau_{1*})}{\partial \tau_a} = -\frac{1}{kw\Theta_0 l} \frac{\partial z(\bar{\xi}_a, \tau_a = 0)}{\partial \tau_a} = \kappa_2. \quad (45')$$

Напряжения в веществе и асимптотическое время разрушения, как и в квазистационарном режиме, будут определяться поведением температуры (43).

Принимая за время воспламенения время, при котором температура на границе стремится к бесконечности, получим для его вычисления трансцендентное уравнение

$$\frac{w\tau_{1*}}{2 - \sqrt{k}} = \left[2 \operatorname{sh} \left(\frac{B}{2} - \frac{\tau_{1*}}{2\sqrt{\pi\tau_0\alpha}} \right) \right]^{2-\sqrt{k}}, \quad (46)$$

меньший корень которого находим с помощью итераций, используя $\tau_{1*0} = 0$ в качестве нулевого приближения. Время зажигания в переменных прогрева найдем из (40).

В более общем случае, т. е. когда условие $v_x(klD)^2 \gg 1$ не выполнено, для определения перемещений требуется решить уравнение

$$\frac{\partial^2 z_a}{\partial \bar{\xi}_a^2} = v_x(klD)^2 \frac{\partial^2 z_a}{\partial \tau_a^2}$$

с (45') по времени и условием

$$\bar{\xi}_a = 0: \frac{\partial z_a}{\partial \bar{\xi}_a} = -\delta\Theta_0 A(\Phi_a - \ln D), \quad z_a(\bar{\xi}_a \rightarrow \infty) = \Theta_0^2 \bar{z}(\bar{\xi}_1 \rightarrow 0)$$

по пространственной координате, где \bar{z} — перемещения вне зоны химических реакций в адиабатических переменных; Φ_a — температура в зоне химических реакций в адиабатическом периоде. Задачу легко решить, например, операционным методом, переходя к новой переменной $t = \tau_a - kwDl\tau_{1*}$ и применяя вторую теорему смещения [9]:

$$z_a = \kappa_1 + \kappa_2 \tau_a + \frac{\delta\Theta_0 A}{klD \sqrt{v_x}} \eta(\tau_a - klD \sqrt{v_x} \bar{\xi}_a) \int_0^{\tau_a - klD \sqrt{v_x} \bar{\xi}_a} [\Phi_a(y + \\ + klDw\tau_{1*}) - \ln D] \eta(\tau_a - klD \sqrt{v_x} \bar{\xi}_a - y) dy.$$

Используя выражения для перемещений и температуры, найдем напряжения в зоне химических реакций в смешанном режиме

$$s_x \approx \left[\frac{1}{A\Theta_0^2} \frac{\partial z_a}{\partial \bar{\xi}_a} + \varepsilon_{xx_1} \right] \frac{1}{\delta} - 1 + \frac{\Phi_a(\bar{\xi}_a, \tau_a) - \ln D}{\Theta_0} + \Theta_1(\bar{\xi}_a, \tau_a) = \\ = -\frac{1}{v_x \Theta_0 (klD)^2} \eta(\tau_a - klD \sqrt{v_x} \bar{\xi}_a) \int_0^{\tau_a - klD \sqrt{v_x} \bar{\xi}_a} \eta(\tau_a - klD \sqrt{v_x} \bar{\xi}_a - y) \times \\ \times [\Phi_a(y + kwDl\tau_{1*}) - \ln D] dy + \frac{B}{\Theta_0} - \frac{\tau_{1*}}{\Theta_0 \sqrt{\pi\tau_0\alpha}} + \frac{2v_x \delta\beta}{\alpha \sqrt{\pi\tau_0\alpha}} - \\ - 1 - \frac{\ln D}{\Theta_0} + B + \frac{A\bar{\xi}_a}{\Theta_0} - \frac{\tau_{1*}}{\sqrt{\pi\tau_0\alpha}} + \frac{2 - \sqrt{k}}{\Theta_0} \ln \left[\frac{C}{2 - \sqrt{k}} + \right.$$

$$+ \frac{\tau_a}{kl(2 - \sqrt{k})} \exp \left\{ - \frac{B + (\ln D)^2 \sigma / \Theta_0 - \tau_{1*} / \sqrt{\pi \tau_0 \alpha}}{2 - \sqrt{k}} \right\}, \quad (47)$$

где C — вычисляется по (44).

Видно, что в зоне химических реакций возникает волна напряжений, которая затухает при $\xi_a \gg \tau_a / klD / v_x$. Асимптотическое время разрушения, как показывает анализ (47) и что следовало ожидать, совпадает со временем зажигания τ_{1*} , которое находим из (46). (Время достижения предельно допустимых напряжений, разумеется, меньше τ_{1*} .) Таким образом, поле температуры, перемещений и характерные времена развития процесса в смешанном режиме также определены.

В чисто адиабатическом режиме переходим к переменной $\tau_a = kwDl\Theta_0(\tau_a - \tau)$. Остальные масштабы остаются прежними: $\xi_a = \Theta_0 w \xi$, $\Phi_a = \Theta_0(\Theta - \Theta_1) + \ln D$, $z_a = \Theta_0^4(u - u_1)$. С точностью до малых величин система уравнений (12) принимает вид, подобный смешанному режиму:

$$\frac{\partial \Phi_a}{\partial \tau_a} - \frac{1}{k} \exp \left[- \frac{\Phi_a + \sigma \ln^2 D / \Theta_0 + B_*}{2 - \sqrt{k}} \right],$$

$$\frac{\partial^2 z_a}{\partial \xi_a^2} = v_x (klD\Theta_0)^2 \frac{\partial^2 z_a}{\partial \tau_a^2},$$

где $B_* = \Theta_0 \left(1 - 2 \sqrt{\frac{\tau_a}{\pi \alpha}} \right) - v_x \Theta_0 \frac{\beta}{\alpha \sqrt{\pi \tau_0 \alpha}}$. Постоянные интегрирования теперь находим из сращивания со стадией инертного прогрева (22). В результате имеем

$$\Phi_a = (2 - \sqrt{k}) \ln \left[\frac{C}{2 - \sqrt{k}} + \frac{\tau_a}{kl(2 - \sqrt{k})} \exp \left\{ - \frac{B_* + (\ln D)^2 \sigma / \Theta_0}{2 - \sqrt{k}} \right\} \right], \quad (48)$$

$$C = (2 - \sqrt{k}) D^{\frac{1}{2 - \sqrt{k}}} \left\{ 1 - \frac{w \Theta_0 \tau_a}{2 - \sqrt{k}} \exp \left(- \frac{B_*}{2 - \sqrt{k}} \right) \right\}.$$

Для перемещений

$$z_a = - \Theta_0^4 \beta_* + \int_0^{\tau_a - \gamma_a} \eta(\tau_a - \gamma_a - y) [\Phi_a(y + kwDl\Theta_0) - \ln D] dy \frac{\delta \Theta_0}{klD \sqrt{v_x}} \eta(\tau_a - \gamma_a), \quad \gamma_a = klD\Theta_0 \sqrt{v_x \xi_a}, \quad (49)$$

$$\beta_* = - \frac{\delta}{\alpha} \tau_a + v_x \frac{\delta}{\alpha^2} \left\{ - 2\beta \sqrt{\frac{\tau_a}{\pi}} - 1 + \frac{\beta^2}{\sqrt{\pi \tau_a}} - \frac{1}{\sqrt{\pi \tau_a}} \left[\frac{1}{\beta} - \frac{1}{\sqrt{\alpha}} + \beta \right] \right\}.$$

Опять, определяя момент зажигания как $\Phi_a(\tau_a \rightarrow 0) \rightarrow -\infty$, получим трансцендентное уравнение для τ_a

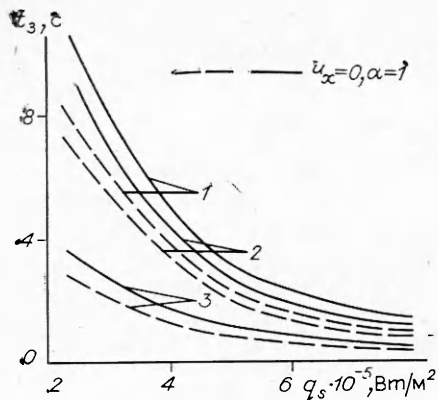
$$\frac{w \Theta_0}{2 - \sqrt{k}} \tau_a = \exp \left\{ \frac{\Theta_0 \left(1 - 2 \sqrt{\frac{\tau_a}{\pi \alpha}} \right) + v_x \Theta_0 \beta / \alpha \sqrt{\pi \tau_0 \alpha}}{2 - \sqrt{k}} \right\}.$$

Используя (48), (49) и обобщенный закон Гука, найдем напряжения в зоне химических реакций (в остальной области справедливы (32), (37))

$$s_x = - \frac{1}{\Theta_0 v_x [klD\Theta_0]^2} \int_0^{\tau_a - \gamma_a} (\tau_a - \gamma_a - y) [\Phi_a(y + klDw\Theta_0) - \ln D] dy \eta(\tau_a - \gamma_a) +$$

$$+ \frac{\Phi_a(\tau_a) - \ln D}{\Theta_0} - 4 \sqrt{\frac{\tau_a}{\pi \alpha}} + \frac{v_x \beta^2}{\alpha \sqrt{\alpha \pi \tau_a}} + 1,$$

откуда следует, что, как и в предыдущих случаях, асимптотическое время разрушения совпадает с τ_a .



Сделаем некоторые оценки. Примем следующие значения постоянных: $\alpha_\tau = 8,5 \cdot 10^{-5}$ град $^{-1}$, $c_e = 8,33 \cdot 10^2$ Дж/(кг · К), $\rho = 2 \cdot 10^3$ кг/м 3 , $\lambda_\tau = 0,2$ Вт/(м · К), $\mu = 8,4 \cdot 10^{10}$ Н/м 2 , $\lambda = 1,3 \cdot 10^{10}$ Н/м 2 , $c_\sigma = 1,5 \cdot 10^3$ Дж/(кг · К), $T_n = 300$ К, $R = 8,31$ Дж/(моль · К), $E = 1,5 \cdot 10^5$ Дж/моль, $Qk_0 = 1,1 \cdot 10^{20}$ Дж/(кг · с). Это дает $\alpha \approx 1,31$. В рассматриваемом примере $v_x \sim 0$ ($10^{-15} - 10^{-17}$ для различных значений q_s), что существенно упрощает расчеты времени зажигания (и асимптотического времени разрушения), но увеличивает вероятность достижения $\sigma_{пр}$.

На рисунке приведены зависимости $t_3 = t_3^*$ от потока, рассчитанные по формулам для квазистационарного (1), адиабатического (3) и для смешанного (2) режимов. Штриховыми линиями показано соответствующее время зажигания для задачи без учета термонапряжений. Видно, что учет эффекта связности полей деформации и температуры приводит к увеличению t_3 во всех режимах. Например, для квазистационарного режима при $\alpha \approx 1,31$ t_3 увеличивается в среднем на 30 % для всех рассмотренных значений q_s (и Θ_0). Соотношения между t_3 , полученными в различных предположениях, аналогичны [6].

Возможность разрушения по τ_3 , разумеется, определяется максимальным напряжением и временем его воздействия. Например, в чисто адиабатическом режиме $s_{x \max} \sim -\Theta_0^{-9} v_x$. Учитывая полученное выше значение v_x и принимая $\Theta_0 = 20$, найдем $\sigma_{x \max} \approx -(10^{14} \div 10^{16})$ Н/м 2 . Следовательно, нельзя однозначно сказать, с чем мы имеем дело: с разрушением или с зажиганием.

Отметим, что применяя метод пограничных функций к решению задачи (12), (15)–(17), найдем для нулевого приближения $\Pi_0 \Theta = \Pi_0 u = 0$. Функции Θ_0, u_0 являются решениями вырожденной задачи (12) ($v_x = 0$), если рассуждения аналогичны предыдущему. Следующее приближение для Π -функций будет удовлетворять системе

$$\frac{\partial \Pi_1 \Theta}{\partial \tau_v} = \frac{\partial^2 \Pi_0 \Theta}{\partial \xi^2} - w \Pi_0 F + \frac{1 - \sigma}{\sigma} \frac{\partial^2 \Pi_1 u}{\partial \xi \partial \tau_v},$$

$$\frac{\partial^2 \Pi_0 u}{\partial \xi^2} + 8 \frac{\partial \Pi_0 \Theta}{\partial \xi} = \frac{\partial^2 \Pi_1 u}{\partial \tau_v^2},$$

$$\Pi_0 F = \exp \left[-\Theta_0 \frac{\bar{\Theta}_0 + \Pi_0 \Theta}{1 - \sigma (\bar{\Theta}_0 + \Pi_0 \Theta)} \right] - \exp \left[-\frac{\Theta_0 \bar{\Theta}_0}{1 - \sigma \bar{\Theta}_0} \right],$$

что опять совпадает с предыдущим решением. (В области, где существенны химические реакции, решение должно строиться иначе.)

Рассмотренная выше задача — это первая попытка оценить влияние напряжений на характеристики зажигания конденсированного вещества. Предположения о свойствах веществ достаточно грубые. В действительности с повышением температуры меняются упругие характеристики, особенно в зоне химических реакций; возникающие в веществе термические напряжения, как показано, могут привести к его разрушению, а следовательно, к смене механизма инициирования химической реакции, к различного рода неустойчивости и т. п. Все это выходит за рамки настоящей работы и является предметом дальнейших исследований.

В заключение приношу благодарность В. И. Тараканову за поддержку в работе и Р. С. Буркиной за ценные рекомендации.

ЛИТЕРАТУРА

1. Боли Б., Уэйнер Дж. Теория температурных напряжений.— М.: Мир, 1964.
2. Коваленко А. Д. Термоупругость.— Киев: Наук. думка, 1975.
3. Виллюнов В. Н. Теория зажигания конденсированных веществ.— Новосибирск: Наука, 1984.
4. Даниловская В. И. // ИФЖ.— 1961.— 1, № 4.— С. 342.
5. Новацкий В. Динамические задачи термоупругости.— М.: Мир, 1970.
6. Буркина Р. С., Виллюнов В. Н. Асимптотика задач теории горения.— Томск: Изд-во Том. ун-та, 1982.
7. Васильева А. Б., Бутузов В. Т. Асимптотические разложения решений сингулярно-возмущенных уравнений.— М.: Наука, 1973.
8. Виллюнов В. Н. К тепловой теории зажигания // ФГВ.— 1966.— 2, № 2.— С. 77—82.
9. Деч Г. Руководство к практическому применению преобразования Лапласа и Z-преобразования.— М.: Наука, 1971.

г. Томск

Поступила в редакцию 13/ХП 1990

УДК 536.46

*В. А. Голубев, В. Ф. Проскудин, П. Г. Бережко, А. Я. Малышев,
И. К. Кремзуков, Е. Н. Беляев, В. В. Островский*

О ВЛИЯНИИ УСАДКИ ШЛАКОВ ПОДЖИГАЮЩЕЙ ТАБЛЕТКИ НА ПАРАМЕТРЫ ЗАЖИГАНИЯ

На примере безгазовой системы $\text{Cr}_2\text{O}_3 + 2\text{Al} + 4\text{B}$ показано, что усадка шлаков поджигающей таблетки, протекая достаточно быстро, может оказывать существенное влияние на параметры зажигания, зависящие в том числе и от высоты таблетки.

Иницирование реакции горения безгазовой системы тепловой волной горящего воспламенителя, имеющее важное практическое значение, изучено достаточно подробно [1—8]. Но во всех работах рассмотрен только один частный случай, когда во время всего процесса перехода волны горения через границу раздела поджигающая таблетка — образец продукты сгорания воспламенителя неподвижны. Вместе с тем известно, что горение безгазовых систем может сопровождаться перемещением вещества (как самопроизвольным [9], так и вынужденным [10]), а для многих систем характерна усадка образовавшегося продукта [11] (т. е. перемещение вещества уже после сгорания).

Указанные обстоятельства применительно к поджигающей таблетке ставят ряд вопросов, связанных с вероятными существенными изменениями условий передачи тепла в поджигаемый образец. В частности, на параметры зажигания большое влияние может оказывать усадка шлаков поджигающей таблетки, если время протекания этих двух процессов окажется одного порядка (например, из-за наличия между воспламенителем и поджигаемым образцом инертной преграды).

Для экспериментального изучения процесса усадки и его влияния на параметры зажигания выбрана безгазовая система $\text{Cr}_2\text{O}_3 + 2\text{Al} + 4\text{B}$, которую получали путем тщательного перемешивания исходных порошкообразных компонентов в шаровой мельнице. Лабораторная сборка для сжигания (рис. 1, а) состояла из стального цилиндра 4, где в донной части установ-

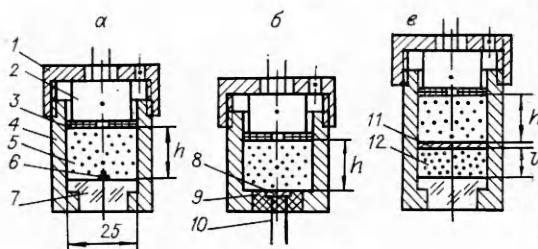


Рис. 1. Лабораторные сборки для сжигания.